

## تأثیر سایتو توکسیک سه گونه گیاهی جنس گل گندم (*Centaurea*) بر رده سلولی لوسمی لنفوبلاستیک حاد (Nalm-6)

فروزان بهمنی<sup>۱</sup>، سمیه اسماعیلی<sup>۲</sup>، داود بشاش<sup>۳</sup>، احمد قره باغیان<sup>۴\*</sup>

- ۱- کارشناسی ارشد خون‌شناسی آزمایشگاهی و بانک خون، گروه خون‌شناسی آزمایشگاهی و بانک خون، دانشکده پیراپزشکی، دانشگاه علوم پزشکی شهید بهشتی، تهران، ایران
  - ۲- دکتری تخصصی فارماکوگنوژی، دانشیار مرکز تحقیقات طب سنتی و مفرادات پزشکی، دانشکده طب سنتی، دانشگاه علوم پزشکی شهید بهشتی، تهران، ایران
  - ۳- دکتری تخصصی خون‌شناسی و بانک خون، استادیار گروه هماتولوژی و بانک خون، دانشکده پیراپزشکی، دانشگاه علوم پزشکی شهید بهشتی، تهران، ایران
  - ۴- دکتری تخصصی ایمونوهماتولوژی بالینی، استاد دانشکده پیراپزشکی دانشگاه علوم پزشکی شهید بهشتی، مرکز تحقیقات بیماری‌های مادرزادی خونی کودکان دانشگاه علوم پزشکی شهید بهشتی، تهران، ایران
- \*آدرس مکاتبه: تهران، میدان قدس، خیابان دریند، گروه خون‌شناسی آزمایشگاهی و بانک خون، دانشکده پیراپزشکی، دانشگاه علوم پزشکی شهید بهشتی، کد پستی: ۱۵۴۶۸-۱۵۵۱۴  
 تلفن: (۰۲۱) ۲۲۷۳۱۹۹۹  
 نامبر: (۰۲۱) ۲۲۷۲۱۱۵۰  
 پست الکترونیک: gharehbaghian@sbmu.ac.ir

تاریخ تصویب: ۹۶/۷/۱۷

تاریخ دریافت: ۹۶/۵/۹

### چکیده

مقدمه: امروزه گیاهان دارویی به سبب محتوای زیست فعال و سمیت انسانی محدود به عنوان منبع ایده‌آل برای پیشگیری یا درمان سرطان مورد توجه قرار گرفته‌اند. گیاهان جنس *Centaurea* که تأثیر سایتو توکسیک آنها بر چندین رده سلولی سرطانی در مطالعات پیشین نشان داده است، دسته‌ای از این گیاهان محسوب می‌شوند.

هدف: در این مطالعه، تأثیر سایتو توکسیک سه گونه *C. salicifolia*, *C. pseudoscabiosa* و *C. albonitens* (*Centaurea*) بر سلول‌های مشتق شده از لوسمی لنفوبلاستیک حاد Nalm-6 مورد بررسی قرار گرفته است.

روش بررسی: سلول‌های لوسمیک Nalm-6 و همچنین MDBK به عنوان رده سلولی نرمال با غلظت‌های افزاینده عصاره‌های متانی بخش‌های هوایی گونه‌های مختلف *Centaurea* تیمار و سپس قدرت کشندگی و مهاری تکثیر گونه‌ها، با روش‌های تریپان‌بلو، MTT و رنگ‌آمیزی DAPI بررسی شد. درنهایت جهت تأیید و درک چگونگی اثر سایتو توکسیک عصاره‌ها، رنگ‌آمیزی Annexin V/PI و بررسی چرخه سلولی انجام شد.

نتایج: نتایج حاصل از آزمون‌های تریپان‌بلو، MTT و رنگ‌آمیزی DAPI. بیانگر القاء مرگ و کاهش تکثیر در سلول‌های Nalm-6 تحت تأثیر تیمار با هر سه عصاره متانی به صورت وابسته به دوز و زمان بوده است ( $P \leq 0.01$ ). برخلاف سلول‌های MDBK حساسیت کمی نسبت به عصاره‌ها نشان دادند. به علاوه، آنالیز داده‌های فلوسایتو‌متری تأیید کننده القاء مرگ سلولی از طریق آپوپتوز و توقف تکثیر در فاز G1 سلول‌های Nalm-6 تیمار شده با عصاره *Centaurea* می‌باشد ( $P \leq 0.01$ ).

نتیجه‌گیری: با توجه به ماهیت غیررسمی محصولات طبیعی، مطالعه ما نشان می‌دهد که *Centaurea* ممکن است به عنوان استراتژی جدید یا عامل مکمل در درمان لوسمی لنفوبلاستیک حاد کمک کننده باشد که نیازمند مطالعات بیشتر است.

**گل واژگان:** لوسمی لنفوبلاستیک حاد، *Centaurea*, آپوپتوز، Nalm-6



## مقدمه

گونه‌های مختلف این جنس را مورد بررسی قرار داده و اثر مثبت آنها را نشان داده‌اند [۱۷، ۱۵-۱۲]. با توجه به بررسی منابع علمی گذشته، گزارشی از مطالعه این جنس گیاهی بر سلول‌های سرطانی با منشا لوسومی لنفوبلاستیک حاد یافت نشد. از این رو ما بر آن شدیدم تا در این مطالعه تأثیر عصاره متانی بخش‌های هوایی سه گونه *Centaurea* (*C. salicifolia* و *C. pseudoscabiosa* و *C. albonitens*) را بر رده سلولی لوسومی لنفوبلاستیک حاد Nalm-6 مورد بررسی قرار دهیم.

## مواد و روش‌ها

### آماده‌سازی عصاره

گونه‌های *C. albonitens* و *C. pseudoscabiosa* با کد هرباریومی TMRC3233 و TMRC3234 از شهرستان کبودراهنگ استان همدان و *C. salicifolia* با کد TMRC3195 از شهرستان ارسباران استان آذربایجان شرقی جمع‌آوری و توسط کارشناسان گیاه‌شناسی مرکز تحقیقات طب سنتی و مفردات پژوهشکی دانشگاه علوم پژوهشکی شهید بهشتی شناسایی شده‌اند. پودر حاصل از اندام‌های هوایی خشک شده هر کدام *C. albonitens*, *C. salicifolia* و *C. pseudoscabiosa* توسط متان (به نسبت ۱ به ۱۰) با استفاده از روش خیساندن (Maceration) به مدت ۲۴ ساعت عصاره‌گیری شدند. عصاره‌های به دست آمده با استفاده از کاغذ صافی از پودر گیاه جدا و سپس با استفاده از دستگاه روتاری در دمای کمتر از ۴۰ درجه سانتی-گراد تغليظ شدند [۱۸]. عصاره‌های تغليظ شده در زیر هود خشک و تا قبل از بررسی در دمای ۴ درجه سانتی‌گراد نگهداری شدند. به منظور آماده‌سازی عصاره‌ها و رساندن آنها به غلاظت مورد نظر، ابتدا ۵۰ میلی‌گرم از هر عصاره در ۱ میلی‌لیتر DMSO استریل حل شدند و به این ترتیب استوک‌های اولیه عصاره‌ها با غلاظت ۵۰ میلی‌گرم بر میلی‌لیتر تهیه و تا زمان استفاده در دمای ۲۰- درجه سانتی‌گراد نگهداری شدند.

Acute Lymphoblastic Leukemia = ALL به عنوان شایع‌ترین بدخیمی کودکان، به تنهایی ۷۷ درصد کل لوسومی در دوران کودکی را تشکیل می‌دهد و با علائمی از جمله آنمی، خونریزی به دلیل ترومبوسايتوپنی و عفونت ناشی از نوتروپنی شناخته می‌شود [۱]. پروتکل درمانی این بیماری شامل شیمی درمانی، رادیوتراپی و پیوند مغز استخوان می‌باشد. با وجود اینکه امروزه ALL در بسیاری از موارد به دلیل بهبود قابل توجه کارآیی داروهای شیمی درمانی مانند گلوکوکورتیکواستروئیدها و وین کریستین سولفات قابل درمان می‌باشد، این بیماری همچنان به عنوان یکی از کشنده‌ترین بدخیمی‌های هماتولوژیک در سراسر جهان محسوب می‌شود [۲، ۳]. عملکرد غیراختصاصی، مقاومت دارویی و عوارض جانبی شدید از جمله مشکلات اصلی داروهای شیمی درمانی حال حاضر محسوب می‌شوند. از این رو نیاز شدیدی به مطالعات گسترده جهت پیدا کردن درمان‌های جایگزین و مکمل احساس می‌شود [۴]. امروزه بخش قابل توجه‌ای از این مطالعات، گیاهان و محصولات طبیعی مشتق شده از گیاهان را هدف قرار داده‌اند. تعداد زیادی از گیاهان به عنوان عوامل ضد سرطان بالقوه شناسایی شده‌اند و روز به روز بر تعداد آنها افزوده می‌شود [۵، ۶]. مطالعات اخیر در حدود ۳۰ داروی ضد سرطانی مشتق شده از گیاهان را معرفی کردن که اکثر آنها هم اکنون تحت کارآزمایی بالینی هستند [۷]. گیاه جنس *Centaurea* دارای ترکیباتی است که خواص سایتو توکسیک آنها اثبات شده است، از جمله: سزکوئیتین لاكتون‌ها، فلاونونئیدها، آلکالوئیدها و لیگنان‌ها [۸-۱۰]. گیاه جنس *Asteraceae* از خانواده *Centaurea* و رده *Asterales* می‌باشد. این جنس شامل حدود ۵۰۰ گونه است که در نواحی اطراف مدیترانه و غرب آسیا از جمله ایران پراکنده‌اند [۱۲، ۱۱]. بسیاری از گونه‌های *Centaurea* در طب سنتی در مواردی همچون رماتیسم، التهاب چشم، عفونت باکتریایی، مشکلات گوارشی و مشکلات پوستی استفاده می‌شوند [۱۴، ۱۳]. مطالعات بسیاری قدرت سایتو توکسیک و مهاری تکثیر



انکوباتور ۳۷ درجه سانتی گراد  $\text{CO}_2$  دار، به سلول‌های داخل هر چاهک ۱۰۰ میکرولیتر محلول MTT ۵mg/ml اضافه شد و پلیت مجدداً به مدت ۳ ساعت در انکوباتور ۳۷ درجه سانتی گراد قرار گرفت. در طی زمان انکوباسیون، رنگ تترازوکسیوم موجود در پودر MTT بوسیله سوکسینات دهیدروژنانز که یکی از آنزیمهای چرخه تنفسی میتوکندری است، احیا می‌شود. احیا و شکسته شدن این رنگ موجب تولید کریستال‌های آبی رنگ فورمازان می‌شود. میزان رنگ تولید شده با تعداد سلول‌هایی که از نظر متابولیک فعال هستند (سلول‌های زنده) رابطه مستقیم دارد. در ادامه پلیت با دور ۱۰۰۰ g به مدت ۱۰ دقیقه سانتریفیوژ شده و پس از خالی کردن محلول رویی ۱۰۰ میکرولیتر DMSO برای حل رسوب رنگی فورمازان به هر چاهک اضافه شد و میزان فعالیت متابولیک با استفاده از دستگاه رنگ‌سنجدی ELAISA-reader در طول موج ۵۷۰ نانومتر بررسی شد [۲۱].

### رنگ‌آمیزی DAPI

این تست جهت تأیید تأثیر سایتوتوکسیک و آنتی-پرولیفراتیو عصاره مورد استفاده قرار گرفت. رنگ DAPI تهیه شده از شرکت Sigma منطبق بر دستور کیت در آب مقطر دیونیزه حل و استوک اصلی با غلظت ۱ mg/ml ۱ ساخته شد. ذکر این نکته ضروری است که این رنگ برای استفاده باید با مтанول به غلظت ۱  $\mu\text{g}/\text{ml}$  بر سد. بدین‌منظور سلول‌های Nalm-6 با غلظت‌های ۵۰، ۷۰ و ۹۰ میکروگرم بر میلی‌لیتر عصاره تیمار و پس از ۴۸ ساعت سلول‌ها با دور ۳۵۰ g به مدت ۴ دقیقه سانتریفیوژ و پس از یک بار شستشو با محلول DAPI-methanol، به مدت ۱۵ دقیقه با ۲۰۰ میکرولیتر از این محلول رنگی انکوبه شدن. سپس سلول‌ها مجدداً سانتریفیوژ شده و PBS جایگزین محلول رویی شد و در انتهای یک لام از نمونه تهیه و توسط میکروسکوپ فلورسنت مشاهده شد. رنگ فلورسنت DAPI با اتصال به پیوند بازهای A-T در DNA دو رشته‌ای به صورت اختصاصی سبب رنگ‌آمیزی DNA می‌شود. از آنجایی که تغییرات مورفو‌لوزیک حاصل از آپوپتوز همچون فشردگی و چروکیدگی هسته و تشکیل اجسام آپوپتویک (Apoptotic body) با این رنگ‌آمیزی قابل

### کشت و تیمار سلول‌ها

مطالعه انجام شده از نوع تجربی می‌باشد. در این مطالعه سلول‌های Nalm-6 که رده سلولی مربوط به لوسمی لنفوبلاستیک حاد می‌باشند و MDBK به عنوان رده سلولی نرمال، در محیط کشت RPMI-1640 حاوی ۱۰ درصد سرم جنین گاوی، ۱۰۰ U/ml پنی‌سیلین و ۱۰۰  $\mu\text{g}/\text{ml}$  استرپتومایسین در انکوباتور با دمای ۳۷ درجه سانتی گراد و ۵ درصد دی اکسید کربن کشت داده شده‌اند. سلول‌های MDBK با غلظت‌های ۱۰ تا ۹۰ میکروگرم بر میلی‌لیتر عصاره‌ها (غلظت‌های مؤثر) به مدت ۲۴، ۴۸ و ۷۲ ساعت تیمار شدند. لازم به ذکر است که جهت جلوگیری از اثرات حلال عصاره‌ها بر روی میزان تکثیر و بقاء سلولی، سلول‌ها با غلظت مشخص شده‌ای از DMSO به عنوان کنترل منفي مواجه شدند. تمامی آزمایش‌ها به منظور افزایش دقت کار با سه بار تکرار انجام شدند [۱۹].

### رنگ‌آمیزی تریپان‌بلو

برای شمارش سلول‌های زنده جهت بررسی میزان بقاء و تکثیر سلول‌های تیمار شده نسبت به کنترل از رنگ‌آمیزی تریپان‌بلو و لام هموسایتومتر (لام نئوبار) استفاده شد. اساس این آزمایش بدین‌ترتیب است که سلول‌های زنده نسبت به ورود رنگ تریپان‌بلو نفوذناپذیر می‌باشند، حال آنکه سلول‌های مرده رنگ را جذب می‌نمایند [۲۰]. میزان زنده‌مانی، سلول‌های زنده با فرمول زیر محاسبه شد:

$$\text{میزان زنده‌مانی} (\%) = \frac{\text{تعداد سلول‌های زنده}}{\text{تعداد کل سلول‌ها}} \times 100.$$

### آزمون MTT

برای ارزیابی تأثیر عصاره‌های مذکور بر میزان فعالیت متابولیک سلولی، سلول‌های لوسمیک Nalm-6 و نرمال MDBK تیمار شده با دوزهای ۹۰-۱۰ میکروگرم بر میلی‌لیتر عصاره‌ها با سه بار تکرار به چاهک‌های پلیت‌های ۹۶ تایی اضافه شدند. پس از ۲۴، ۴۸ و ۷۲ ساعت انکوباسیون در

مورد بررسی قرار گرفت. در صورت بروز آپوپتوز و آسیب غشاء سلولی، رنگ PI توان عبور از غشاء را پیدا می‌کند و با توجه به میزان محتوای DNA که بیانگر فازهای مختلف چرخه سلولی است، درصد جمعیت سلولی در فازهای مختلف را نشان می‌دهد [۲۴]. بدین منظور، پس از جمع آوری سلول‌های تیمار شده و شستشوی یکباره آنها با PBS سرد، اتانول ۷۰٪ سرد (۲۰ درجه سانتی گراد) جهت فیکس کردن سلول‌ها به میزان ۱ ml به نمونه‌ها به صورت قطره قطره اضافه شد. پس از گذشت ۲ ساعت انکوباسیون در یخچال، سلول‌ها مجدداً با PBS شستشو داده شدند و پس از خروج ۱ ml PBS محلول PI master mix که حاوی ۴۰ µl PI، ۱۰ آنژیم RNase و ۹۵۰ µl محلول PBS می‌باشد به سلول‌ها اضافه شد. سپس سلول‌ها به مدت ۳۰ دقیقه در دمای ۳۷ درجه سانتی گراد انکوبه شده و توسط دستگاه فلوسایتمتری مورد بررسی قرار گرفتند و درنهایت داده‌ها توسط نرم‌افزار FlowJo 7.6 آنالیز شد.

#### آنالیز آماری

تمامی آزمایشات به شکل سه آزمون مستقل انجام و مقادیر گزارش شده به شکل  $\text{Mean} \pm \text{SD}$  قید شدند. همچنین برای محاسبات آماری از روش t-test و نرم‌افزار SPSS17 و GraphPad Prism7 استفاده شد [۲۵، ۲۶].

## نتایج

بررسی اثر عصاره‌های متابی C. albonitens و C. salicifolia و C. pseudoscabiosa بر شاخص زنده-

#### مانی سلول‌های Nalm-6 و MDBK

همان‌طور که در شکل شماره ۱ نشان داده شده است، عصاره هر سه گونه Centaurea به صورت وابسته به دوز و زمان قادر به کاهش درصد زنده‌مانی سلول‌های Nalm-6 می‌باشد، به گونه‌ای که سلول‌های Nalm-6 حساسیت بیشتری نسبت به عصاره C. albonitens در مقایسه با C. salicifolia و C. pseudoscabiosa C. salicifolia ۹۰ میکروگرم بر میلی‌لیتر عصاره

تشخیص می‌باشند، این رنگ که در طول موج ۳۴۰ نانومتر جذب و در طول موج ۴۸۸ نانومتر تشعشع آبی دارد، جهت بررسی آپوپتوز مورد استفاده قرار می‌گیرد [۲۲].

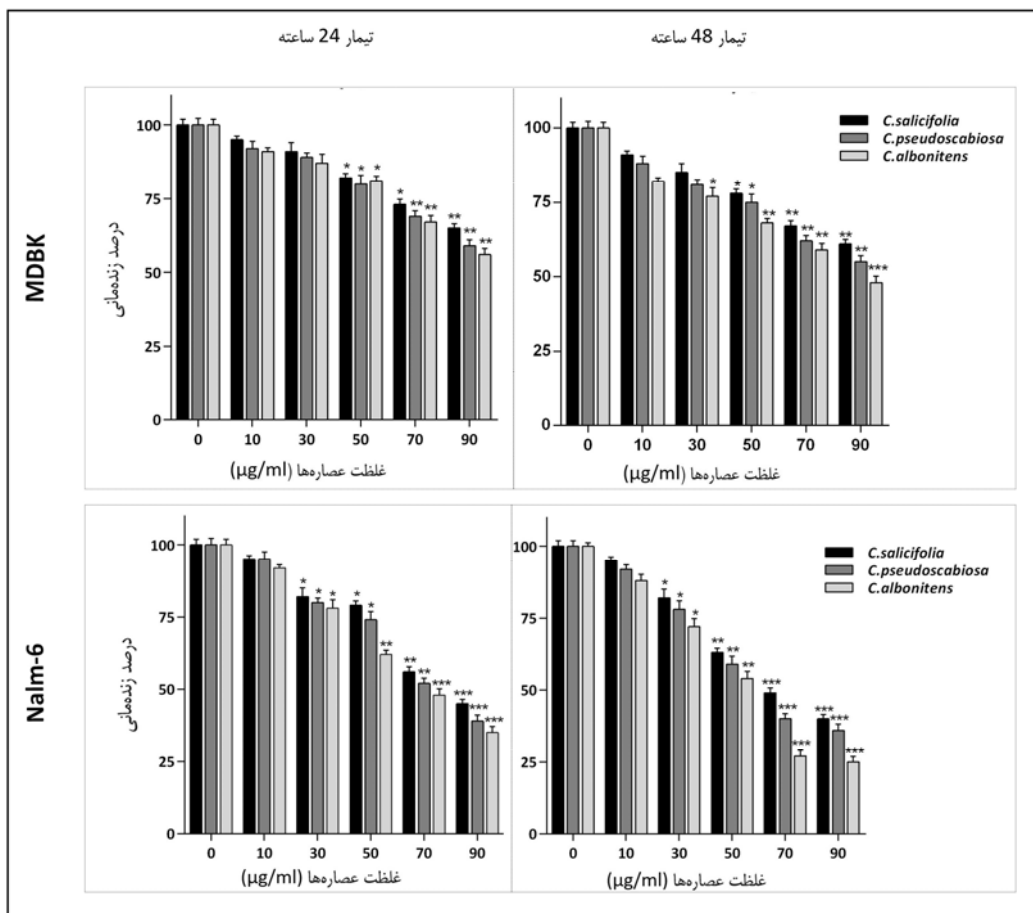
#### آزمون فلوسایتمتری آنکسین V/PI

به منظور بررسی القاء آپوپتوز در سلول‌های لوسمیک تحت تأثیر عصاره‌های متابی بخش‌های هوایی Centaurea، آزمون فلوسایتمتری آنکسین V/PI انجام شد. آنکسین V باند شده به رنگ فلورسنت FITC به عنوان مارکری برای تشخیص فسفاتیدیل سرین که در طی آپوپتوز از غشاء داخلی به سطح سلول اکسترالیزه می‌شود، به کار می‌رود. بدین منظور سلول‌های Nalm-6 به تعداد ۵۰۰ هزار با غلظت‌های مؤثر داروی ۵۰، ۷۰ و ۹۰ میکروگرم بر میلی‌لیتر، در پلیت‌های ۶ خانه به مدت ۴۸ ساعت تیمار شدند. بعد از انکوباسیون، رسوب سلولی با استفاده از سانتریفیوژ جدا شده و پس از یک بار شستشو با PBS با ۵۰۰ میکرولیتر از بافر باند کننده ۱X مواجه شد. در ادامه ۵ میکرولیتر آنکسین V به نمونه‌ها اضافه و پس از ۱۰ دقیقه انکوباسیون در تاریکی این بار ۵ میکرولیتر رنگ Tariکی انکوبه شد. لازم به ذکر است که جهت حذف رنگ زمینه برای هر نمونه یک نمونه کنترل (بدون آنکسین V و PI) در نظر گرفته شد. نمونه‌ها به ویال‌های مربوط به فلوسایتمتری منتقل شدند، سپس میزان خروج فسفاتیدیل سرین در سطح سلول‌ها توسط دستگاه فلوسایتمتری مورد سنجش واقع شد و نتایج توسط نرم‌افزار FlowJo 7.6 آنالیز شد [۲۳].

#### آزمون بررسی چرخه سلولی

جهت ارزیابی تأثیر عصاره بر چرخه سلولی سلول‌های Nalm-6، از روش رنگ‌آمیزی PI و بررسی فلوسایتمتریک استفاده شد. رنگ PI متصلب شونده به DNA دو رشته‌ای می‌باشد که غشاء سلولی نسبت به آن نفوذناپذیر است. بدین منظور سلول‌های Nalm-6 به مدت ۴۸ ساعت با غلظت‌های افزاینده عصاره (۵۰، ۷۰ و ۹۰ میکروگرم بر میلی‌لیتر) تیمار شدند و سپس توزیع سلول‌ها با استفاده از این روش



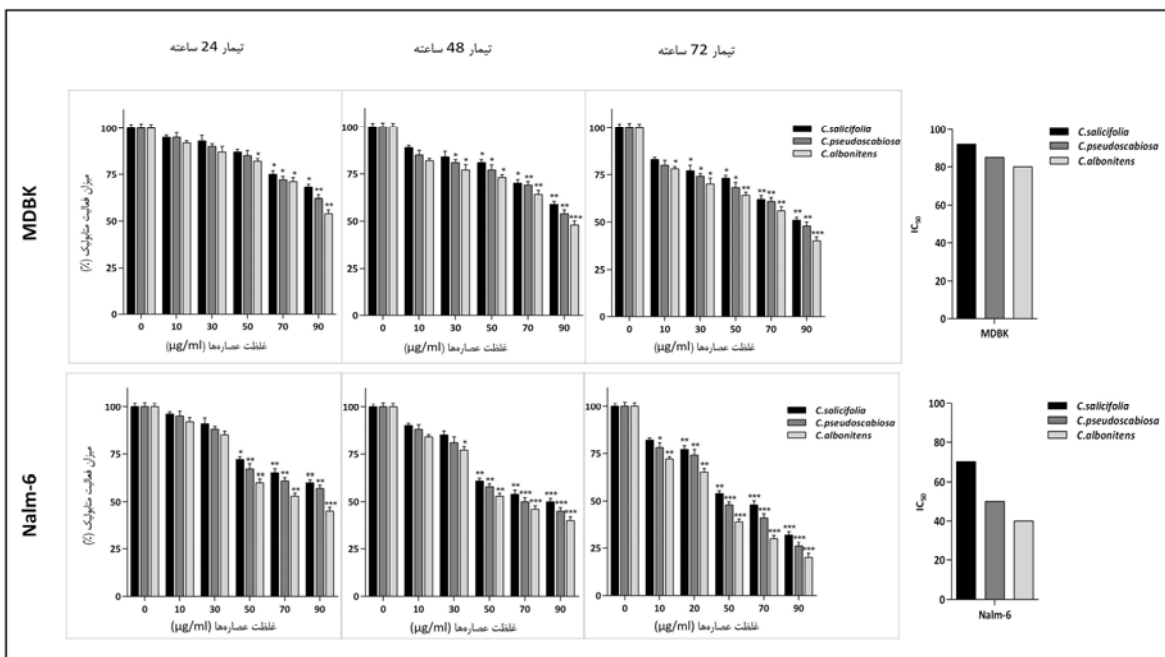


شکل شماره ۱- تأثیر عصاره‌های متابولیک *C. salicifolia* و *C. pseudoscabiosa* و *C. albonitens* بر شاخص زنده‌مانی سلول‌های Nalm-6 و MDBK (\*, پیانگر  $P<0.05$ , \*\*، پیانگر  $P<0.01$  و \*\*، پیانگر  $P<0.001$ ).

متابولیک سلول‌های Nalm-6 تیمار ۲۴ ساعته به صورت وابسته به دوز و زمان فعالیت کاهشی کنترل به شکل قابل توجه‌ای کاهش می‌دهد، به گونه‌ای که بیشترین کاهش فعالیت متابولیک را در سلول‌های تیمار شده با *C. albonitens* و بعد از آن به ترتیب *C. salicifolia* و *C. pseudoscabiosa* مشاهده کردیم. همان‌طور که در شکل شماره ۲ نشان داده شده است؛ در حالی که غلظت عصاره  $70 \mu\text{g}/\text{ml}$  عصاره *C. albonitens* میزان فعالیت متابولیک سلول‌های Nalm-6 را پس از گذشت ۴۸ ساعت به ۴۵٪ کاهش داده است، *C. pseudoscabiosa* و *C. salicifolia* این شاخص را در این رده سلولی به ترتیب به

و *C. pseudoscabiosa* میزان زنده‌مانی سلول‌های Nalm-6 را به ترتیب به ۴۲ و ۳۷ درصد کاهش داده است، در حالیکه *C. albonitens* در همین غلظت این شاخص را به ۲۵ درصد رسانده است. به علاوه تیمار سلول‌های MDBK به عنوان رده سلولی نرمال، کاهش مختصری در میزان زنده‌مانی سلول‌های MDBK نسبت به سلول‌های لوسمیک Nalm-6 نشان داد.

مقایسه تأثیر عصاره متابولیک سه گونه *Centaurea* بر فعالیت متابولیک سلول‌های Nalm-6 و MDBK نتایج به دست آمده از بررسی فعالیت متابولیک سلولی با روش MTT حاکی از آن است که گونه‌های مختلف



شکل شماره ۲- بررسی و مقایسه میزان فعالیت متابولیک سلول های MDBK و Nalm-6 پس از تیمار با عصاره های متانلی *C. albonitens*

(\*، بیانگر  $P<0.05$ ، \*\*، بیانگر  $P<0.01$  و \*\*\*، بیانگر  $P<0.001$ ). (P<0.05، بیانگر ۰.۰۱، بیانگر ۰.۰۰۱).

نسبت به کنترل را به ترتیب به ۲۱، ۱۰ و ۲۵ درصد رساندند. همان‌طور که مشاهده می‌کید؛ بر خلاف سلول‌های Nalm-6 سلول‌های نرمal MDBK حساسیت بسیار کمی نسبت به هر سه عصاره متانلی نشان دادند.

#### تأثیر اثرات سایتو توکسیک و آنتی پرولیفراطیو عصاره متانلی

##### **DAPI** با استفاده از رنگ آمیزی *C. albonitens*

تصاویر حاصل از مطالعه میکروسکوپی، به شکلی واضح بیانگر کاهش تعداد سلول‌ها و ایجاد تغییرات مورفو‌لوزیک همچون چروکیدگی هسته و تشکیل اجسام آپویوتیک در سلول‌های Nalm-6 تیمارشده با عصاره *C. albonitens* در مقایسه با سلول‌های کنترل می‌باشد که به ترتیب تأیید کننده مهار تکثیر سلولی و القاء مرگ سلولی به صورت وابسته به دوز هستند (شکل شماره ۴).

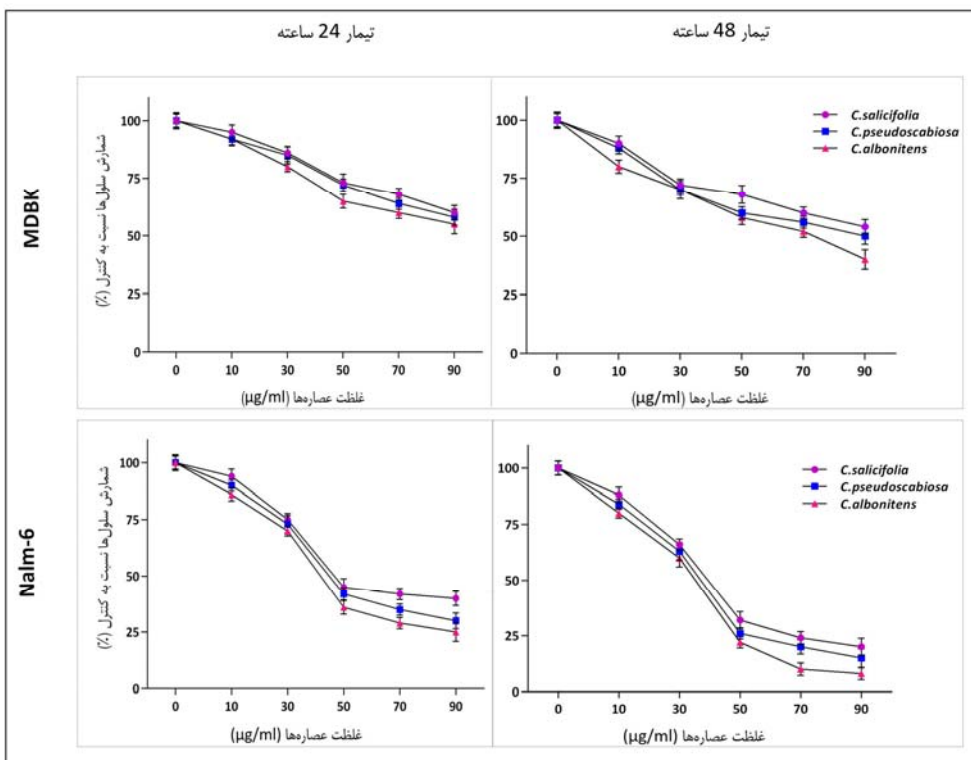
۵۲ و ۵۶ درصد رساندند. نتایج حاصل از بررسی فعالیت متابولیک سلول‌های MDBK در تأیید آزمون بررسی زنده‌مانی با روش تریپان بلو نشان‌دهنده کاهش مختصری در میزان فعالیت متابولیک این سلول‌ها نسبت به رده سلولی Nalm-6 پس از تیمار با هر سه عصاره متانلی می‌باشد.

بررسی و مقایسه اثر مهاری عصاره متانلی سه گونه

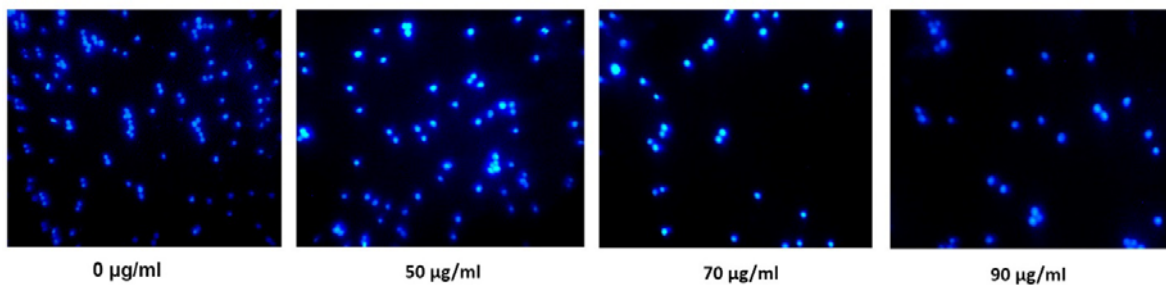
##### **MDBK** بر تکثیر سلول‌های Nalm-6 و *Centaurea*

همان‌طور که در شکل شماره ۳ مشخص شده است؛ نتایج این بررسی بیانگر کاهش درصد تعداد هر دو رده سلولی *Centaurea* به کنترل پس از تیمار با هر سه گونه به صورت وابسته به دوز و زمان بوده است، هرچند گونه *C. albonitens* اثر مهاری بیشتری بر تکثیر سلولی نشان داد. به این صورت که غلظت ۷۰ میکروگرم بر میلی‌لیتر عصاره‌های *C. salicifolia* و *C. pseudoscabiosa* *C. albonitens* پس از ۴۸ ساعت درصد تعداد سلول‌های Nalm-6 تیمار شده





شکل شماره ۳- بررسی اثر عصاره‌های *C. salicifolia*, *C. pseudoscabiosa*, *C. albonitens* بر شمارش سلولی در سلول‌های MDBK و Nalm-6



شکل شماره ۴- تأیید اثر سایتو توکسیک و آنتی پرولیفراتیو عصاره *C. albonitens* بر سلول‌های Nalm-6 توسط رنگ فلورستن DAPI

سلول‌های فاز G1 را از ۳۶ درصد در سلول‌های کنترل به ترتیب به ۴۰، ۵۲ و ۵۴ درصد افزایش داده است، حال آنکه میزان جمعیت سلولی فاز S در غلظت‌های ذکر شده از ۴۲ درصد در سلول‌های کنترل به ترتیب به ۳۹، ۲۲ و ۱۲ درصد کاهش پیدا کرده است. به علاوه افزایش درصد جمعیت سلولی فاز sub-G1، القاء مرگ و میر وابسته به دوز را در سلول‌های تیمار شده Nalm-6 در مقایسه با کنترل نشان می‌دهد.

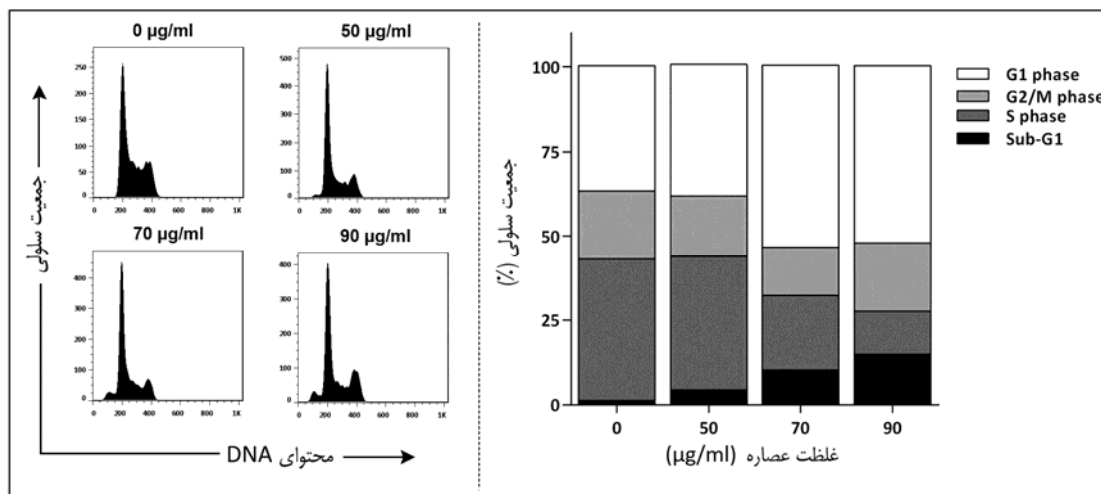
#### تأثیر عصاره متانلی *C. albonitens* بر فازهای مختلف چرخه سلولی در سلول‌های Nalm-6

همانگونه که در شکل شماره ۵ مشخص شده است، عصاره متانلی *C. albonitens* به صورت وابسته به دوز منجر به افزایش جمعیت سلولی در فاز G1 و همچنین کاهش جمعیت سلولی فاز S شده است که خود نشان‌دهنده توقف چرخه سلولی در فاز G1 به صورت وابسته به دوز می‌باشد. به گونه‌ای که غلظت‌های ۵۰، ۷۰ و ۹۰ میکروگرم بر میلی‌لیتر، درصد

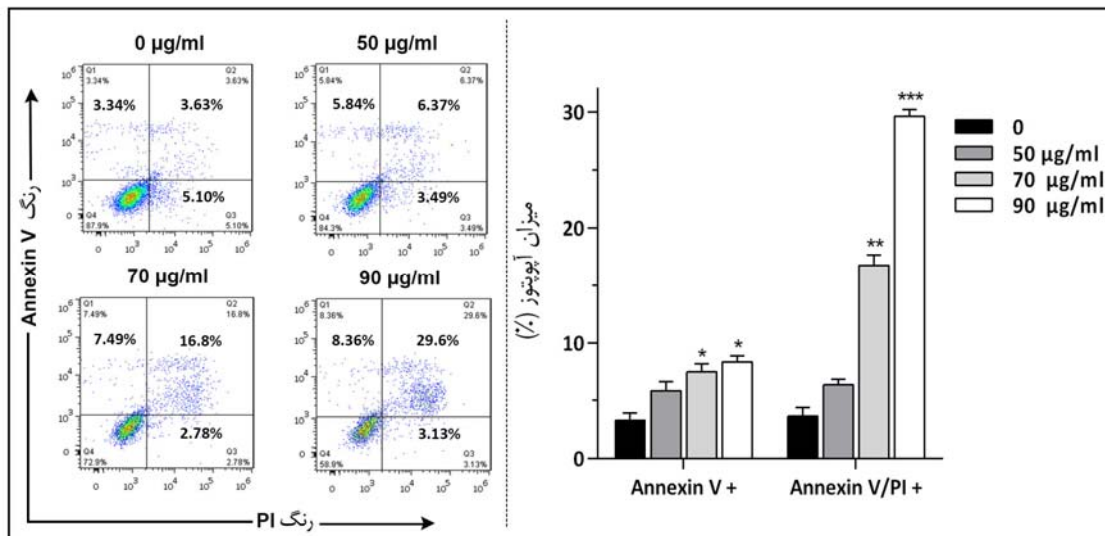
۹۰ میکروگرم بر میلی لیتر از ۳/۳۴ درصد در سلول های کنترل تنها به ۸/۵۴ درصد تغییر پیدا کرده است، حال آنکه میزان سلول های آنکسین PI/V مثبت از ۳/۶۳ درصد در کنترل به ۲۹/۳۵ درصد افزایش یافته است. یافته های ما نشانگر این موضوع است که عصاره *C. albonitens* با القاء آپوپتوز اولیه و بخصوص آپوپتوز تأخیری اعمال می کند.

#### تأیید القاء آپوپتوز با روش فلوسایتومتری آنکسین PI/V

همان گونه که در شکل شماره ۶ نشان داده شده است؛ عصاره *C. albonitens* قادر به افزایش قابل توجه آپوپتوز در سلول های Nalm-6 به صورت وابسته به دوز می باشد، به گونه ای که این عصاره نه تنها باعث افزایش سلول های آنکسین V مثبت می شود، بلکه به شکل بارز تری درصد سلول های آنکسین PI/V مثبت را افزایش می دهد. همان گونه که مشاهده می شود؛ درصد سلول های آنکسین V مثبت طی تیمار سلولی با غلظت



شکل شماره ۵- بررسی اثر عصاره متانولی *C. albonitens* بر فازهای مختلف چرخه سلول های Nalm-6



شکل شماره ۶- بررسی اثر عصاره متانولی *C. albonitens* بر القاء مرگ سلولی در رده سلولی Nalm-6. (\*, بیانگر  $P<0.05$  و \*\*, بیانگر  $P<0.01$  و \*\*\*، بیانگر  $P<0.001$ ).



## بحث

عنوان رده سلولی نرمال نشان داد که این جنس گیاه علی‌رغم خاصیت سایتو توکسیک بر رده سلولی لوسمیک Nalm-6 تأثیر سمیت کمی بر سلول‌های نرمال دارد.

Nahed El-najjar در مطالعه‌ای که در سال ۲۰۰۷ توسط و همکارانش بر روی تأثیر گونه‌ای از *Centaurea* در رده سلولی HCT-116 صورت گرفت، نشان داد که این عصاره گیاهی اثر سایتو توکسیک خود را با القاء آپوپتوز اعمال می‌کند [۱۷]. نتایج حاصل از مطالعه ما نیز تأیید کننده این موضوع است که عصاره این گیاه به صورت وابسته به دوز و زمان قادر به القاء آپوپتوز در سلول‌های لوسمیک Nalm-6 می‌باشد. Akram همچنین در مطالعه دیگری که در همان سال Ghatous و همکارانش انجام دادند، تأثیر گونه‌ای متفاوت قرار گرفت. مطالعه اخیر بیانگر این موضوع بوده است که این عصاره گیاهی علاوه بر القاء آپوپتوز قادر به مهار تکثیر سلولی از طریق توقف در فاز G1 می‌باشد [۳۱]. بررسی چرخه سلولی در این مطالعه نیز نتایج مشابه‌ای نشان داد، به گونه‌ای که این عصاره با توقف تکثیر در فاز G1 چرخه سلولی و کاهش درصد فاز S، در نهایت منجر به آپوپتوز و درنتیجه افزایش جمعیت سلولی فاز sub-G1 می‌شود. نتایج حاصل از آزمون‌های فلوسایتومتریک بررسی چرخه سلولی و رنگآمیزی آنکسین PI/V تأیید کننده نتایج حاصل از آزمون‌های تریپان بلو و MTT مبنی بر مهار تکثیر و کاهش بقاء رده سلولی مشتق شده از لوسمی لنفوپلاستیک حاد Nalm-6 بوده است. به طور کلی، به نظر می‌رسد که گونه‌های مختلف *Centaurea* مورد مطالعه ما با تأثیر سایتو توکسیک بسیار ناچیز بر سلول‌های نرمال قادرند به صورت کارآمد تأثیر آپوپتوزیک و آنتی پرولیفراتیو خود را بر سلول‌های لوسمیک Nalm-6 اعمال کنند. از این رو می‌توان این جنس گیاهی را به عنوان عاملی سایتو توکسیک بر رده سلولی Nalm-6 برای بررسی‌های بیشتر جهت یافتن مکانیسم مولکولی پیشنهاد کرد.

عوارض جانبی شدید و مقاومت به درمان از اصلی‌ترین مشکلات داروهای شیمی‌درمانی حال حاضر به شمار می‌آیند. از این رو امروزه مطالعات گسترده‌ای جهت یافتن عوامل درمانی مکمل یا جایگزین برای درمان سرطان‌ها از جمله ALL انجام می‌شود [۱۹]. بخش عمده‌ای از مطالعات در این زمینه، اثرات سایتو توکسیک گیاهان و مشتقات آنها را بر رده‌های سلولی سرطانی، نمونه‌های حیوانی و در مراحل نهایی داوطلبان انسانی مورد بررسی قرار داده‌اند [۲۷-۲۹]. به گونه‌ای که بخش قابل توجهی از داروهای بازدارنده یا درمان‌کننده سرطان امروزی از ترکیبات گیاهی ساخته شده‌اند [۳۰]. به همین دلیل ما بر آن شدیم که اثر سایتو توکسیک *Centaurea* به عنوان جنسی از خانواده گیاهان دارویی Asteraceae که در مطالعات پیشین اثر ضدسرطان آنها در چندین رده سلولی نشان داده شده است را بر رده سلولی لوسمی لنفوپلاستیک حاد Nalm-6 مورد مطالعه قرار دهیم.

نتایج حاصل از بررسی سه گونه متفاوت *Centaurea* در این مطالعه، بیانگر قدرت سایتو توکسیک و آنتی پرولیفراتیو این جنس گیاهی بر سلول‌های مشتق شده از لوسمی لنفوپلاستیک حاد می‌باشد. همان‌طور که در نتایج مربوط به MTT و تریپان-بلو نشان داده شده است (شکل‌های شماره ۳-۱)، عصاره متانلی بخش‌های هوایی سه گونه جنس *Centaurea* نقش بسزایی در کاهش بقاء و تعداد سلول‌های Nalm-6 تیمار شده با غلظت‌های بالای ۱۰ میکروگرم بر میلی‌لیتر، به صورت وابسته به دوز و زمان داشتند. مطالعات بیشماری هم راستا با نتایج این مطالعه، اثرات سایتو توکسیک و آنتی پرولیفراتیو عصاره گونه‌های مختلف *Centaurea* را بر سلول‌های COLO320، MCF-7، CaCo2، MIA PaCa-2 و MDBK به نشان داده‌اند [۳۱، ۱۷، ۱۵، ۱۲]. این در حالی است که در مطالعه حاضر غلظت‌های پایین‌تر عصاره نتایج مشابه‌ای نشان دادند. لازم به ذکر است که بررسی سلول‌های MDBK به

## منابع

1. Inaba H, Greaves M and Mullighan CG. Acute lymphoblastic leukaemia. *The Lancet*. 2013; 381 (9881): 1943-55.
2. Lei J, Li Q, Gao Y, Zhao L and Liu Y. Increased PKC $\alpha$  activity by Rack1 overexpression is responsible for chemotherapy resistance in T-cell acute lymphoblastic leukemia-derived cell line. *Scientific Reports* 2016; 6.
3. Yang Y, Zhang Z, Li S, Ye X, Li X and He K. Synergy effects of herb extracts: pharmacokinetics and pharmacodynamic basis. *Fitoterapia* 2014; 92: 133-47.
4. Prakash O, Kumar A and Kumar P. Anticancer potential of plants and natural products: a review. *American Journal of Pharmacological Sciences* 2013; 1 (6): 104-15.
5. Nirmala MJ, Samundeeswari A and Sankar PD. Natural plant resources in anti-cancer therapy-A review. *Research in Plant Biology* 2011; 1 (3).
6. Gach K, Długosz A and Janecka A. The role of oxidative stress in anticancer activity of sesquiterpene lactones. *Naunyn-Schmiedeberg's Archives of Pharmacol*. 2015; 388 (5): 477-86.
7. Gülcemal D, Alankuş-Çalışkan Ö, Karaalp C, Örs AU, Ballar P and Bedir E. Phenolic glycosides with antiproteasomal activity from Centaurea urvillei DC. subsp. urvillei. *Carbohydrate Res*. 2010; 345 (17): 2529-33.
8. Sak K. Cytotoxicity of dietary flavonoids on different human cancer types. *Pharmacognosy Reviews* 2014; 8 (16): 122.
9. Shabestari ESB, Attar F, Riahi H and Sheidai M. Pollen morphology of Centaurea L. (Asteraceae) in Iran. *Acta Botanica Brasilica* 2013; 27 (4): 669-79.
10. Esmaeili S, Naghibi F, Mosaddegh M, Sahranavard S, Ghafari S and Abdullah NR. Screening of antiplasmodial properties among some traditionally used Iranian plants. *Journal of Ethnopharmacol*. 2009; 121 (3): 400-4.
11. Forgo P, Zupkó I, Molnár J, Vasas A, Dombi G and Hohmann J. Bioactivity-guided isolation of antiproliferative compounds from Centaurea jacea L. *Fitoterapia* 2012; 83 (5): 921-5.
12. Shoeb M, Celik S, Jaspars M, Kumarasamy Y, MacManus SM, Nahar L and et al. Isolation, structure elucidation and bioactivity of schischkinin, a unique indole alkaloid from the seeds of Centaurea schischkinii. *Tetrahedron* 2005; 61 (38): 9001-6.
13. Rodríguez A, Mendoza A, Sirvent J-M, Barcenilla F, de la Torre-Prados MV, Solé-Violán J and et al. Combination antibiotic therapy improves survival in patients with community-acquired pneumonia and shock. *Critical Care Medicine* 2007; 35 (6): 1493-8.
14. Surh Y-J. Cancer chemoprevention with dietary phytochemicals. *Nature Reviews Cancer* 2003; 3 (10): 768.
15. Chicca A, Tebano M, Adinolfi B, Ertugrul K, Flaminio G and Nieri P. Anti-proliferative activity of aguerin B and a new rare nor-guaianolide lactone isolated from the aerial parts of Centaurea deflexa. *European Journal of Medicinal Chem*. 2011; 46 (7): 3066-70.
16. Csapi B, Hajdú Z, Zupkó I, Berényi Á, Forgo P, Szabó P and et al. Bioactivity-guided isolation of antiproliferative compounds from Centaurea arenaria. *Phytotherapy Res*. 2010; 24 (11): 1664-9.
17. El-Najjar N, Dakdouki S, Darwiche N, El-Sabban M, Saliba NA and Gali-Muhtasib H. Anti-colon cancer effects of Salograviolide A isolated from Centaurea ainetensis. *Oncology Reports* 2008; 19 (4): 897-904.
18. Trusheva B, Trunkova D and Bankova V. Different extraction methods of biologically active components from propolis: a preliminary study. *Chemistry Central J*. 2007; 1 (1): 13.
19. Darvishi M, Esmaeili S, Dehghan-Nayeri N, Mashati P and Gharehbaghian A. Anticancer effect



- and enhancement of therapeutic potential of Vincristine by extract from aerial parts of *Juniperus excelsa* on pre-B acute lymphoblastic leukemia cell lines. *Journal of Applied Biomedicine*. 2017; 15 (3): 219-226.
- 20.** Tennant JR. Evaluation of the trypan blue technique for determination of cell viability. *Transplantation*. 1964; 2 (6): 685-94.
- 21.** Gerlier D and Thomasset N. Use of MTT colorimetric assay to measure cell activation. *Journal of Immunological Methods* 1986; 94 (1-2): 57-63.
- 22.** Kapuscinski J. DAPI: a DNA-specific fluorescent probe. *Biotechnic & Histochem*. 1995; 70 (5): 220-33.
- 23.** Vermes I, Haanen C, Steffens-Nakken H and Reutellingsperger C. A novel assay for apoptosis flow cytometric detection of phosphatidylserine expression on early apoptotic cells using fluorescein labelled annexin V. *Journal of Immunological Methods* 1995; 184 (1): 39-51.
- 24.** Labarca C and Paigen K. A simple, rapid, and sensitive DNA assay procedure. *Analytical Biochem*. 1980; 102 (2): 344-52.
- 25.** Bryman A and Cramer D. Quantitative data analysis with IBM SPSS 17, 18 and 19: Routledge; 2011.
- 26.** Motulsky H. Analyzing data with GraphPad prism: GraphPad Software Incorporated; 1999.
- 27.** Greenwald P. Science, medicine, and the future: cancer chemoprevention. *BMJ: British Medical Journal* 2002; 324 (7339): 714.
- 28.** Newman DJ and Cragg GM. Natural products as sources of new drugs over the 30 years from 1981 to 2010. *Journal of Natural Products* 2012; 75 (3): 311-35.
- 29.** Kaczirek K, Schindl M, Weinhausel A, Scheuba C, Passler C, Prager G and et al. Cytotoxic activity of camptothecin and paclitaxel in newly established continuous human medullary thyroid carcinoma cell lines. *The Journal of Clinical Endocrinology & Metabolism* 2004; 89 (5): 2397-401.
- 30.** Cragg GM and Newman DJ. Plants as a source of anti-cancer agents. *Journal of Ethnopharmacol*. 2005; 100 (1): 72-9.
- 31.** Ghantous A, Tayyoun AA, Lteif GA, Saliba NA, Gali-Muhtasib H, El-Sabban M and et al. Purified Salograviolide A isolated from *Centaurea ainetensis* causes growth inhibition and apoptosis in neoplastic epidermal cells. *International Journal of Oncol*. 2008; 32 (4): 841-9.

## Cytotoxicity of Three Species of *Centaurea* Genus on Acute Lymphoblastic Leukemia Cell Line (Nalm-6)

Bahmani F (M.Sc.)<sup>1</sup>, Esmaeili S (Ph.D.)<sup>2</sup>, Bashash D (Ph.D.)<sup>3</sup>, Gharehboghian A (Ph.D.)<sup>3\*</sup>

1- Department of Hematology and Blood Banking, School of Allied Medicine Sciences, Shahid Beheshti University of Medical Sciences, Tehran, Iran

2- Traditional Medicine and Materia Medica Research Center (TMRC), School of Traditional Medicine, Shahid Beheshti University of Medical Sciences, Tehran, Iran

3- Pediatric Congenital Hematologic Disorders Research Center, Shahid Beheshti University of Medical Sciences, Tehran, Iran

\*Corresponding author: Department of Hematology and Blood banking, School of Allied Medical Sciences, Shahid Beheshti University of Medical Sciences, Darband St., Qods Sq., P.O.Box: 15468-15514, Tehran, Iran

Tel: +98-21-22721150; Fax: +98-21-22731999

E-mail: gharehboghian@sbmu.ac.ir

### Abstract

**Background:** Medicinal plants are considered as one of the ideal therapeutic sources for cancer prevention or treatment due to their bioactive contents and low side effects to humans. *Centaurea* genus have shown potential anti-tumor activity on some cancer cell lines in previous studies.

**Objective:** The aim of this study was to evaluate the cytotoxic effect of three species of *Centaurea* genus (*C. albonitens*, *C. pseudoscabiosa*, *C. salicifolia*) on Nalm-6 cells.

**Methods:** Nalm-6 cells were treated with increasing concentrations of the methanolic extracts of the aerial parts of three *Centaurea* species, then, their cytotoxic and anti-proliferative effects were evaluated using trypan blue, MTT and DAPI staining assays. Moreover, annexin V/PI staining and cell cycle analysis were performed for further investigation.

**Results:** The results of trypan blue, MTT assay and DAPI staining revealed that all 3 extracts exhibit cytotoxic and anti-proliferative properties against Nalm-6 cells in a dose- and time-dependent manner ( $P \leq 0.001$ ). Interestingly, there was no considerable cytotoxicity in normal cells, MDBK. The flow cytometric analysis validated that *Centaurea* dose dependently induces apoptosis and G1 phase arrest in Nalm-6 cells ( $P \leq 0.01$ ).

**Conclusion:** Due to the safety profile of the natural products, our study suggests that *Centaurea* extracts might provide insight into a novel therapeutic strategy and may confer advantages for acute lymphoblastic leukemia treatment, however further researches are necessary.

**Keywords:** *Centaurea*, Acute Lymphoblastic Leukemia, Apoptosis, MDBK, Nalm-6

